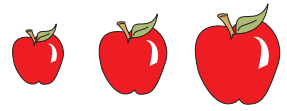
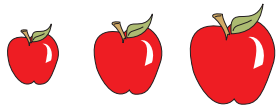


Equations de la structure interne d'une étoile classique et isotrope



Équilibre mécanique

Hypothèse : symétrie sphérique



Équilibre mécanique

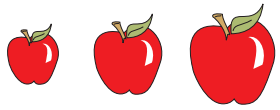
Hypothèse : symétrie sphérique

Equation de poisson : $\Delta\psi = 4G\pi\rho$

Définition de la masse : $M(r) = \int_{|\mathbf{r}| < r} \rho(\mathbf{r}) d\mathbf{r} = 4\pi \int_0^r s^2 \rho(s) ds$

ainsi

$$r^2 \frac{d\psi}{dr} = GM(r)$$



Équilibre mécanique

Hypothèse : symétrie sphérique

Equation de poisson : $\Delta\psi = 4G\pi\rho$

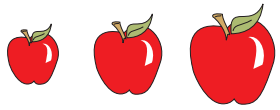
Définition de la masse : $M(r) = \int_{|\mathbf{r}| < r} \rho(\mathbf{r}) d\mathbf{r} = 4\pi \int_0^r s^2 \rho(s) ds$

ainsi

$$r^2 \frac{d\psi}{dr} = GM(r)$$

Equation d'Euler (fluide auto-gravitant)

$$\frac{\partial \mathbf{v}}{\partial t} + (\mathbf{v} \cdot \nabla) \mathbf{v} = -\frac{1}{\rho} \nabla P - \nabla \psi$$



Équilibre mécanique

Hypothèse : symétrie sphérique

Equation de poisson : $\Delta\psi = 4G\pi\rho$

Définition de la masse : $M(r) = \int_{|\mathbf{r}| < r} \rho(\mathbf{r}) d\mathbf{r} = 4\pi \int_0^r s^2 \rho(s) ds$

ainsi

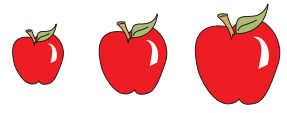
$$r^2 \frac{d\psi}{dr} = GM(r)$$

Equation d'Euler (fluide auto-gravitant)

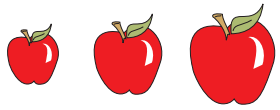
$$\frac{\partial \mathbf{v}}{\partial t} + (\mathbf{v} \cdot \nabla) \mathbf{v} = -\frac{1}{\rho} \nabla P - \nabla \psi$$

à l'équilibre mécanique

$$\boxed{\frac{dP}{dr} = -\frac{GM(r)\rho(r)}{r^2}}$$



Équilibre thermique



Équilibre thermique

Production de l'énergie

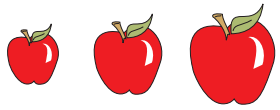
Luminosité $L(r)$: Quantité de lumière émise par seconde à la distance r du centre de l'étoile.

$L(r + dr) - L(r)$: Variation d'énergie interne du gaz dans la couche

Pas d'accumulation : $L(r + dr) - L(r) = \epsilon 4\pi r^2 dr$

ϵ : Prod. volumique d'énergie

$$\implies \boxed{\frac{dL}{dr} = 4\pi r^2 \epsilon}$$



Équilibre thermique

Production de l'énergie

Luminosité $L(r)$: Quantité de lumière émise par seconde à la distance r du centre de l'étoile.

$L(r + dr) - L(r)$: Variation d'énergie interne du gaz dans la couche

$$\boxed{\text{H}} \text{ Pas d'accumulation : } L(r + dr) - L(r) = \varepsilon 4\pi r^2 dr$$

ε : Prod. volumique d'énergie

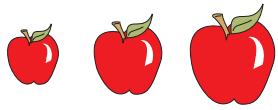
$$\implies \boxed{\frac{dL}{dr} = 4\pi r^2 \varepsilon}$$

Transport de l'énergie

Convection et/ou radiation : Loi de Fourier $F = -\kappa \frac{dT}{dr}$

$$\text{on vu que } F = \frac{L}{4\pi r^2}$$

$$\implies \boxed{\frac{dT}{dr} = -\frac{L}{4\pi \kappa r^2}}$$



Équilibre général

$$\left\{ \begin{array}{l} \frac{dP}{dr} = -\frac{GM(r)\rho(r)}{r^2} \\ \frac{dM}{dr} = 4\pi r^2 \rho(r) \\ \frac{dL}{dr} = 4\pi r^2 \varepsilon \\ \frac{dT}{dr} = -\frac{L}{4\pi \kappa r^2} \end{array} \right.$$

Données du modèle

$$P = P(\rho, T, X)$$

$$\varepsilon = \varepsilon(\rho, T, X)$$

$$\kappa = \kappa(\rho, T, X)$$

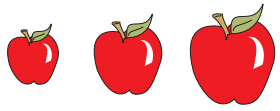
Conditions aux limites

$$\lim_{r \rightarrow 0} \left[M, L, \frac{dT}{dr} \right] = [0, 0, 0]$$

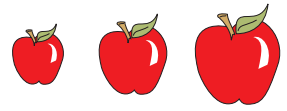
$$\lim_{r \rightarrow R_*} [M, P, \rho] = [M_*, 0, 0]$$

+ Equation d'état !

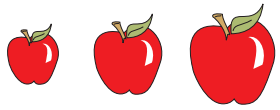
Problème numérique relativement simple ...



Équations d'état



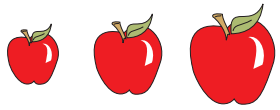
Contexte théorique



Contexte théorique

Enceinte de volume V , énergie totale E , entropie S , pression P
Découpage en cellules ε_i dégénérescence g_i

$$E = \sum_i n_i \varepsilon_i = \epsilon V$$



Contexte théorique

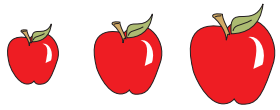
Enceinte de volume V , énergie totale E , entropie S , pression P
Découpage en cellules ε_i dégénérescence g_i

$$E = \sum_i n_i \varepsilon_i = \epsilon V$$

Premier principe : $dE = TdS - PdV$

passage à l'énergie libre :
$$\left[\begin{array}{l} F = E - TS \\ dF = -PdV - SdT \end{array} \right.$$

$$\text{d'où } P = - \left(\frac{\partial F}{\partial V} \right)_T$$



Contexte théorique

Enceinte de volume V , énergie totale E , entropie S , pression P
Découpage en cellules ε_i dégénérescence g_i

$$E = \sum_i n_i \varepsilon_i = \epsilon V$$

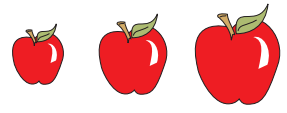
Premier principe : $dE = TdS - PdV$

passage à l'énergie libre :
$$\left[\begin{array}{l} F = E - TS \\ dF = -PdV - SdT \end{array} \right.$$

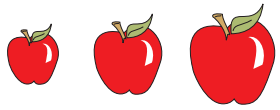
$$\text{d'où } P = - \left(\frac{\partial F}{\partial V} \right)_T$$

Définition de l'entropie : $S = k \ln W$ W
nombre de complexions

Equilibre : Maximum de l'entropie



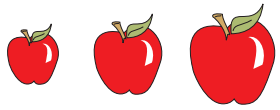
GP classique monoatomique



GP classique monoatomique

Dénombrement des complexions : $W_{cl} = \prod_i \frac{g_i^{n_i}}{n_i!}$ (particules discernables)

Equilibre : $\max(S)$ sous contrainte $E = \text{cste}$, $N = \text{cste}$.

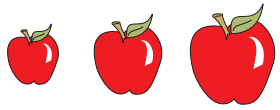


GP classique monoatomique

Dénombrement des complexions : $W_{cl} = \prod_i \frac{g_i^{n_i}}{n_i!}$ (particules discernables)

Equilibre : $\max(S)$ sous contrainte $E = \text{cste}$, $N = \text{cste}$.

$$n_i^{eq} = g_i e^{-\beta \varepsilon_i} \quad \beta = (kT)^{-1}$$



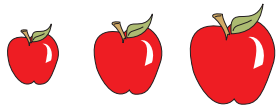
GP classique monoatomique

Dénombrement des complexions : $W_{cl} = \prod_i \frac{g_i^{n_i}}{n_i!}$ (particules discernables)

Equilibre : $\max(S)$ sous contrainte $E = \text{cste}$, $N = \text{cste}$.

$$n_i^{eq} = g_i e^{-\beta \varepsilon_i} \quad \beta = (kT)^{-1}$$

$$\text{Limite continue} \left\{ \begin{array}{l} E = \int \varepsilon g(\varepsilon) e^{-\beta \varepsilon} d\varepsilon \\ S = k\beta E + k \int g(\varepsilon) e^{-\beta \varepsilon} d\varepsilon \end{array} \right.$$



GP classique monoatomique

Dénombrément des complexions : $W_{cl} = \prod_i \frac{g_i^{n_i}}{n_i!}$ (particules discernables)

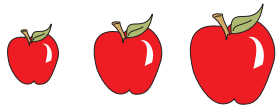
Equilibre : $\max(S)$ sous contrainte $E = \text{cste}$, $N = \text{cste}$.

$$n_i^{eq} = g_i e^{-\beta \varepsilon_i} \quad \beta = (kT)^{-1}$$

$$\text{Limite continue} \left\{ \begin{array}{l} E = \int \varepsilon g(\varepsilon) e^{-\beta \varepsilon} d\varepsilon \\ S = k\beta E + k \int g(\varepsilon) e^{-\beta \varepsilon} d\varepsilon \end{array} \right.$$

Facteur de dégénérescence :

$$g(p) dp = \frac{V}{h^3} 4\pi p^2 dp \quad \varepsilon = \frac{p^2}{2m} \quad \longrightarrow \quad g(\varepsilon) d\varepsilon = \frac{2\pi V (2m)^{3/2}}{h^3} \varepsilon^{1/2} d\varepsilon$$



GP classique monoatomique

Dénombrement des complexions : $W_{cl} = \prod_i \frac{g_i^{n_i}}{n_i!}$ (particules discernables)

Equilibre : $\max(S)$ sous contrainte $E = \text{cste}$, $N = \text{cste}$.

$$n_i^{eq} = g_i e^{-\beta \varepsilon_i} \quad \beta = (kT)^{-1}$$

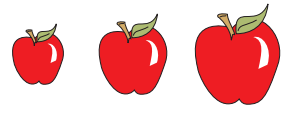
$$\text{Limite continue} \begin{cases} E = \int \varepsilon g(\varepsilon) e^{-\beta \varepsilon} d\varepsilon \\ S = k\beta E + k \int g(\varepsilon) e^{-\beta \varepsilon} d\varepsilon \end{cases}$$

Facteur de dégénérescence :

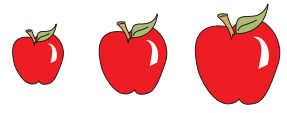
$$g(p) dp = \frac{V}{h^3} 4\pi p^2 dp \quad \varepsilon = \frac{p^2}{2m} \quad \longrightarrow \quad g(\varepsilon) d\varepsilon = \frac{2\pi V (2m)^{3/2}}{h^3} \varepsilon^{1/2} d\varepsilon$$

$$\dots E = \frac{3}{2} \frac{V}{h^3} \left(\frac{2m\pi}{\beta} \right)^{3/2} kT = \frac{3}{2} NkT \quad \dots S = \frac{5}{3} \frac{E}{T}$$

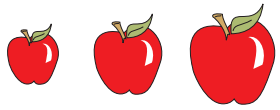
on en déduit directement $P = \frac{2}{3} \epsilon$ soit $P = \frac{N}{V} kT$



GP quantique monoatomique



GP quantique monoatomique



GP quantique monoatomique

Bosons

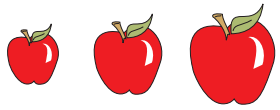
$$W_b = \prod_i C_{g_i}^{g_i + n_i}$$

$$n_i^{eq} = \frac{g_i}{e^{\beta\varepsilon_i - \mu} - 1}$$

μ : potentiel chimique

Gaz de photon : Corps noir

$$\mu = 0$$



GP quantique monoatomique

Bosons

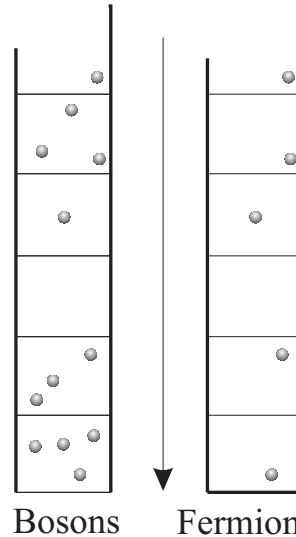
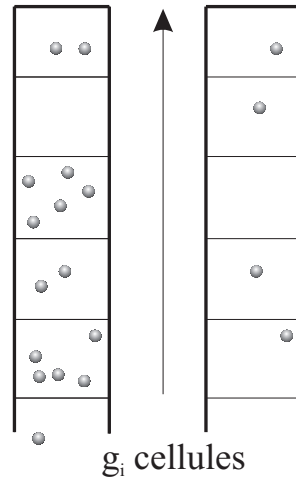
$$W_b = \prod_i C_{g_i}^{g_i + n_i}$$

$$n_i^{eq} = \frac{g_i}{e^{\beta \varepsilon_i - \mu} - 1}$$

μ : potentiel chimique

Gaz de photon : Corps noir

$$\mu = 0$$



Fermions

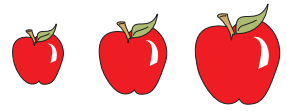
$$W_f = \prod_i C_{g_i}^{n_i}$$

$$n_i^{eq} = \frac{g_i}{e^{\beta \varepsilon_i - \mu} + 1}$$

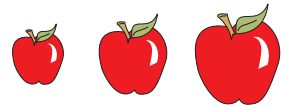
$\mu = \beta \varepsilon_f$, ε_f energie de Fermi

Gaz de fermions dégénérés

$$e^{\beta(\varepsilon_i - \varepsilon_f)} \simeq 0 \implies n_i \simeq g_i$$

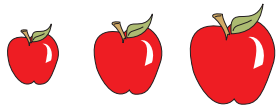


Particules relativistes avec $\mu = 0$



Particules relativistes avec $\mu = 0$

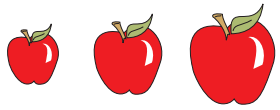
Bosons : Photons, le corps noir ...



Particules relativistes avec $\mu = 0$

Bosons : Photons, le corps noir ...

Energie : $\varepsilon = cp$ Facteur de dégénérescence : $g(\varepsilon) d\varepsilon = \frac{8\pi V}{c^3 h^3} \varepsilon^2 d\varepsilon$



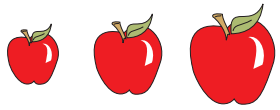
Particules relativistes avec $\mu = 0$

Bosons : Photons, le corps noir ...

Energie : $\varepsilon = cp$ Facteur de dégénérescence : $g(\varepsilon) d\varepsilon = \frac{8\pi V}{c^3 h^3} \varepsilon^2 d\varepsilon$

$$\dots E = \frac{8\pi V}{\beta^4 c^3 h^3} \int \frac{x^3}{e^x - 1} dx = \frac{8\pi^5 k^4}{15 c^3 h^3} VT^4 = aT^4 \quad \dots S = \frac{4}{3} \frac{E}{T}$$

on en déduit directement $P = \frac{1}{3} \epsilon$ soit $P = \frac{1}{3} aT^4$



Particules relativistes avec $\mu = 0$

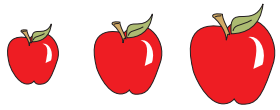
Bosons : Photons, le corps noir ...

Energie : $\varepsilon = cp$ Facteur de dégénérescence : $g(\varepsilon) d\varepsilon = \frac{8\pi V}{c^3 h^3} \varepsilon^2 d\varepsilon$

$$\dots E = \frac{8\pi V}{\beta^4 c^3 h^3} \int \frac{x^3}{e^x - 1} dx = \frac{8\pi^5 k^4}{15c^3 h^3} VT^4 = aT^4 \quad \dots S = \frac{4}{3} \frac{E}{T}$$

on en déduit directement $P = \frac{1}{3} \epsilon$ soit $P = \frac{1}{3} aT^4$

Fermions : Neutrinos, un autre fond diffus ...



Particules relativistes avec $\mu = 0$

Bosons : Photons, le corps noir ...

Energie : $\varepsilon = cp$ Facteur de dégénérescence : $g(\varepsilon) d\varepsilon = \frac{8\pi V}{c^3 h^3} \varepsilon^2 d\varepsilon$

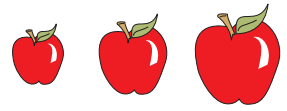
$$\dots E = \frac{8\pi V}{\beta^4 c^3 h^3} \int \frac{x^3}{e^x - 1} dx = \frac{8\pi^5 k^4}{15c^3 h^3} VT^4 = aT^4 \quad \dots S = \frac{4}{3} \frac{E}{T}$$

on en déduit directement $P = \frac{1}{3}\epsilon$ soit $P = \frac{1}{3} aT^4$

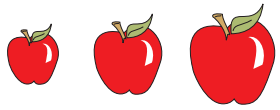
Fermions : Neutrinos, un autre fond diffus ...

des calculs similaires donnent

$$P = \frac{1}{3}\epsilon \quad \text{ou encore} \quad P = \frac{7}{8} aT^4$$



Fermions classiques dégénérés



Fermions classiques dégénérés

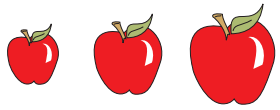
Cadavres d'étoiles (e^- : naines blanches, n : étoiles à neutrons)

$$n_i^{eq} = \frac{g_i}{e^{\beta(\varepsilon_i - \varepsilon_f)} + 1}$$

Etat dégénéré

$$e^{\beta(\varepsilon_i - \varepsilon_f)} \simeq 0$$
$$n_i \simeq g_i$$

$$\varepsilon_i = \frac{p_i^2}{2m}$$



Fermions classiques dégénérés

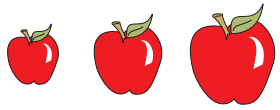
Cadavres d'étoiles (e^- : naines blanches, n : étoiles à neutrons)

$$n_i^{eq} = \frac{g_i}{e^{\beta(\varepsilon_i - \varepsilon_f)} + 1}$$

Etat dégénéré
 $e^{\beta(\varepsilon_i - \varepsilon_f)} \simeq 0$
 $n_i \simeq g_i$

$$\varepsilon_i = \frac{p_i^2}{2m}$$
$$N = \sum_i n_i \longrightarrow N = \int g(\varepsilon) d\varepsilon = \frac{8\pi\sqrt{2}Vm^{3/2}}{h^3} \int_0^{\varepsilon_f} \varepsilon^{1/2} d\varepsilon$$

soit $\varepsilon_f = \frac{h^2}{8m} \left(\frac{3N}{\pi V} \right)^{2/3}$



Fermions classiques dégénérés

Cadavres d'étoiles (e^- : naines blanches, n : étoiles à neutrons)

$$n_i^{eq} = \frac{g_i}{e^{\beta(\varepsilon_i - \varepsilon_f)} + 1}$$

Etat dégénéré
 $e^{\beta(\varepsilon_i - \varepsilon_f)} \simeq 0$
 $n_i \simeq g_i$

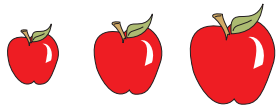
$$\varepsilon_i = \frac{p_i^2}{2m}$$

$$N = \sum_i n_i \longrightarrow N = \int g(\varepsilon) d\varepsilon = \frac{8\pi\sqrt{2}Vm^{3/2}}{h^3} \int_0^{\varepsilon_f} \varepsilon^{1/2} d\varepsilon$$

$$\text{soit } \varepsilon_f = \frac{h^2}{8m} \left(\frac{3N}{\pi V} \right)^{2/3}$$

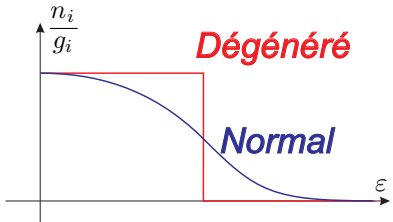
$$E = \sum_i \varepsilon_i n_i \longrightarrow E = \int \varepsilon g(\varepsilon) d\varepsilon = \frac{8\pi\sqrt{2}Vm^{3/2}}{h^3} \int_0^{\varepsilon_f} \varepsilon^{3/2} d\varepsilon$$

$$\text{soit } E = \frac{3}{5} N \varepsilon_f = \frac{3N h^2}{40 m} \left(\frac{3N}{\pi V} \right)^{2/3}$$



Fermions classiques dégénérés

Cadavres d'étoiles (e^- : naines blanches, n : étoiles à neutrons)

$$n_i^{eq} = \frac{g_i}{e^{\beta(\varepsilon_i - \varepsilon_f)} + 1}$$


Etat dégénéré
 $e^{\beta(\varepsilon_i - \varepsilon_f)} \simeq 0$
 $n_i \simeq g_i$

$$\varepsilon_i = \frac{p_i^2}{2m}$$

$$N = \sum_i n_i \longrightarrow N = \int g(\varepsilon) d\varepsilon = \frac{8\pi\sqrt{2}Vm^{3/2}}{h^3} \int_0^{\varepsilon_f} \varepsilon^{1/2} d\varepsilon$$

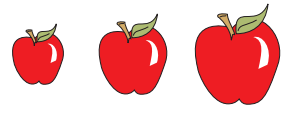
$$\text{soit } \varepsilon_f = \frac{h^2}{8m} \left(\frac{3N}{\pi V} \right)^{2/3}$$

$$E = \sum_i \varepsilon_i n_i \longrightarrow E = \int \varepsilon g(\varepsilon) d\varepsilon = \frac{8\pi\sqrt{2}Vm^{3/2}}{h^3} \int_0^{\varepsilon_f} \varepsilon^{3/2} d\varepsilon$$

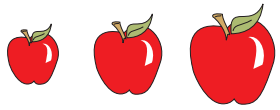
$$\text{soit } E = \frac{3}{5} N \varepsilon_f = \frac{3N h^2}{40 m} \left(\frac{3N}{\pi V} \right)^{2/3}$$

on en déduit directement $P = \frac{2}{3}\epsilon$ soit $P = \frac{2}{5} N \frac{\varepsilon_f}{V}$

avec des fermions relativistes $\varepsilon^2 = p^2 c^2 + m^2 c^4$
 équilibre mécanique : masse critique ...



Cas spéciaux ...

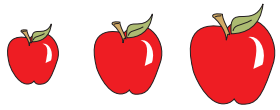


Cas spéciaux ...

Gaz de poussières froides

E et F indépendants de V

$$E = E_o, \epsilon = \epsilon_o, \quad \text{ainsi } \boxed{P = 0}$$



Cas spéciaux ...

Gaz de poussières froides

E et F indépendants de V

$$E = E_o, \epsilon = \epsilon_o, \quad \text{ainsi } \boxed{P = 0}$$

Champ scalaire sans spin ...

$$\frac{1}{2} T^{\mu\nu} = \frac{\partial \mathcal{L}}{\partial g^{\mu\nu}} - \frac{1}{2} g^{\mu\nu} \mathcal{L}$$

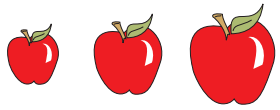
Fluide parfait

$$\mathcal{L} = 3P - \epsilon \quad \longrightarrow \quad T^{\mu\nu} = P g^{\mu\nu} + (P + \epsilon) \frac{u^\mu u^\nu}{c^2}$$

Champ scalaire

$$\mathcal{L} = \frac{1}{2} \partial_\mu \varphi \partial^\mu \varphi - V(\varphi) \quad \longrightarrow \quad T^{\mu\nu} = V(\varphi) g^{\mu\nu}$$

$$\text{Equation d'état effective : } \boxed{P = V(\varphi) = -\epsilon}$$



Cas spéciaux ...

Gaz de poussières froides

E et F indépendants de V

$$E = E_o, \epsilon = \epsilon_o, \quad \text{ainsi } \boxed{P = 0}$$

Champ scalaire sans spin ...

$$\frac{1}{2} T^{\mu\nu} = \frac{\partial \mathcal{L}}{\partial g^{\mu\nu}} - \frac{1}{2} g^{\mu\nu} \mathcal{L}$$

Fluide parfait

$$\mathcal{L} = 3P - \epsilon$$

$$\longrightarrow T^{\mu\nu} = P g^{\mu\nu} + (P + \epsilon) \frac{u^\mu u^\nu}{c^2}$$

Champ scalaire

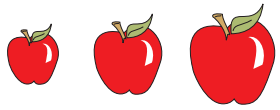
$$\mathcal{L} = \frac{1}{2} \partial_\mu \varphi \partial^\mu \varphi - V(\varphi)$$

$$\longrightarrow T^{\mu\nu} = V(\varphi) g^{\mu\nu}$$

$$\text{Equation d'état effective : } \boxed{P = V(\varphi) = -\epsilon}$$

Matière raide ...

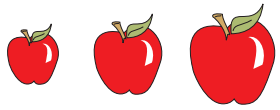
$$c_s = c \dots \quad P = \epsilon$$



Résumé

Equation d'état très générale $P = (\Gamma - 1) \epsilon$

Γ : indice barotrope

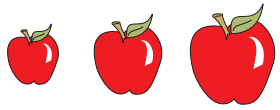


Résumé

Equation d'état très générale $P = (\Gamma - 1) \epsilon$

Γ : indice barotrope

$$\Gamma = 0 \quad \mapsto \quad P = -\epsilon \quad \text{Champ scalaire}$$

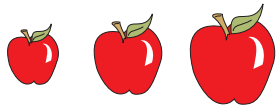


Résumé

Equation d'état très générale $P = (\Gamma - 1) \epsilon$

Γ : indice barotropique

$\Gamma = 0$	\mapsto	$P = -\epsilon$	Champ scalaire
$\Gamma = \frac{5}{3}$	\mapsto	$P = \frac{2}{3}\epsilon$	$P = N \frac{kT}{V}$ Gaz parfait classique non relativiste $P = \frac{2}{5} N \frac{\epsilon_f}{V}$ Gaz parfait quantique fermions dég. non relativiste

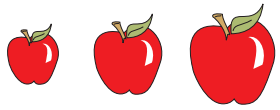


Résumé

Equation d'état très générale $P = (\Gamma - 1) \epsilon$

Γ : indice barotropique

$\Gamma = 0$	\mapsto	$P = -\epsilon$	Champ scalaire
$\Gamma = \frac{5}{3}$	\mapsto	$P = \frac{2}{3}\epsilon$	$P = N \frac{kT}{V}$ Gaz parfait classique non relativiste $P = \frac{2}{5} N \frac{\epsilon_f}{V}$ Gaz parfait quantique fermions dég. non relativiste
$\Gamma = \frac{4}{3}$	\mapsto	$P = \frac{1}{3}\epsilon$	$P = \frac{1}{3} a T^4$ Gaz parfait quantique bosons relativistes sans pot. chim. $P = \frac{7}{8} a T^4$ Gaz parfait quantique fermions relativistes sans pot. chim.

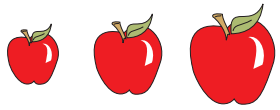


Résumé

Equation d'état très générale $P = (\Gamma - 1) \epsilon$

Γ : indice barotropique

$\Gamma = 0$	\mapsto	$P = -\epsilon$	Champ scalaire
$\Gamma = \frac{5}{3}$	\mapsto	$P = \frac{2}{3}\epsilon$	$P = N \frac{kT}{V}$ Gaz parfait classique non relativiste
			$P = \frac{2}{5} N \frac{\epsilon_f}{V}$ Gaz parfait quantique fermions dég. non relativiste
$\Gamma = \frac{4}{3}$	\mapsto	$P = \frac{1}{3}\epsilon$	$P = \frac{1}{3} a T^4$ Gaz parfait quantique bosons relativistes sans pot. chim.
			$P = \frac{7}{8} a T^4$ Gaz parfait quantique fermions relativistes sans pot. chim.
$\Gamma = 1$	\mapsto	$P = 0$	Fluide incohérent, gaz de poussières froides ...



Résumé

Equation d'état très générale $P = (\Gamma - 1) \epsilon$

Γ : indice barotropique

$\Gamma = 0$	\mapsto	$P = -\epsilon$	Champ scalaire
$\Gamma = \frac{5}{3}$	\mapsto	$P = \frac{2}{3}\epsilon$	$P = N \frac{kT}{V}$ Gaz parfait classique non relativiste
			$P = \frac{2}{5} N \frac{\epsilon_f}{V}$ Gaz parfait quantique fermions dég. non relativiste
$\Gamma = \frac{4}{3}$	\mapsto	$P = \frac{1}{3}\epsilon$	$P = \frac{1}{3} a T^4$ Gaz parfait quantique bosons relativistes sans pot. chim.
			$P = \frac{7}{8} a T^4$ Gaz parfait quantique fermions relativistes sans pot. chim.
$\Gamma = 1$	\mapsto	$P = 0$	Fluide incohérent, gaz de poussières froides ...
$\Gamma = 2$	\mapsto	$P = \epsilon$	Matière raide, vitesse du son = c